

The background features abstract geometric shapes, primarily triangles, in shades of blue and orange. On the left, a solid blue triangle points towards the center. On the right, a complex arrangement of overlapping triangles in various shades of blue and orange creates a dynamic, layered effect. The central area is a plain light gray, providing a clear space for the text.

Mesure des défauts de l'œil

Objectifs

Opérations laser : besoin de précision

⇒ Mesures des défauts de l'œil



Source : cliniquelamartine.fr

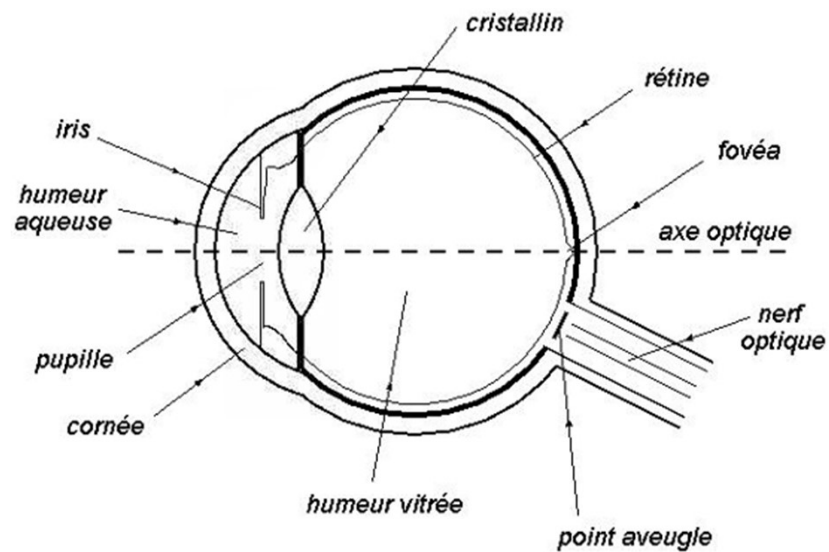
Plan

- 0. Introduction
- I. Mise en évidence de la déformation d'un front d'onde de manière simple
 - a) Expérience
 - b) Simulation
- II. Mesure de la déformation d'un front d'onde type Shack-Hartmann
 - a) Expérience
 - b) Résultats obtenus
- III. Traitement informatique du front d'onde reçu
 - a) Détermination du front d'onde aux points d'échantillonnage
 - b) Interpolation de Lagrange
 - c) Utilisation des Polynômes de Zernike comme base pour représenter le front d'onde

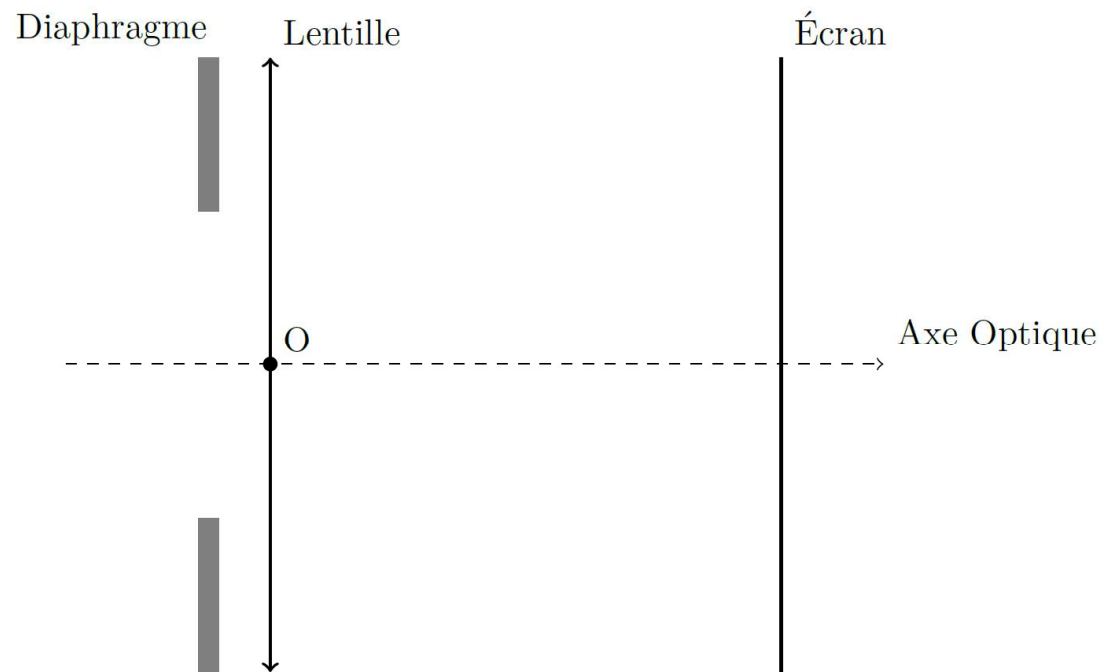
0. Introduction

a) Présentation générale

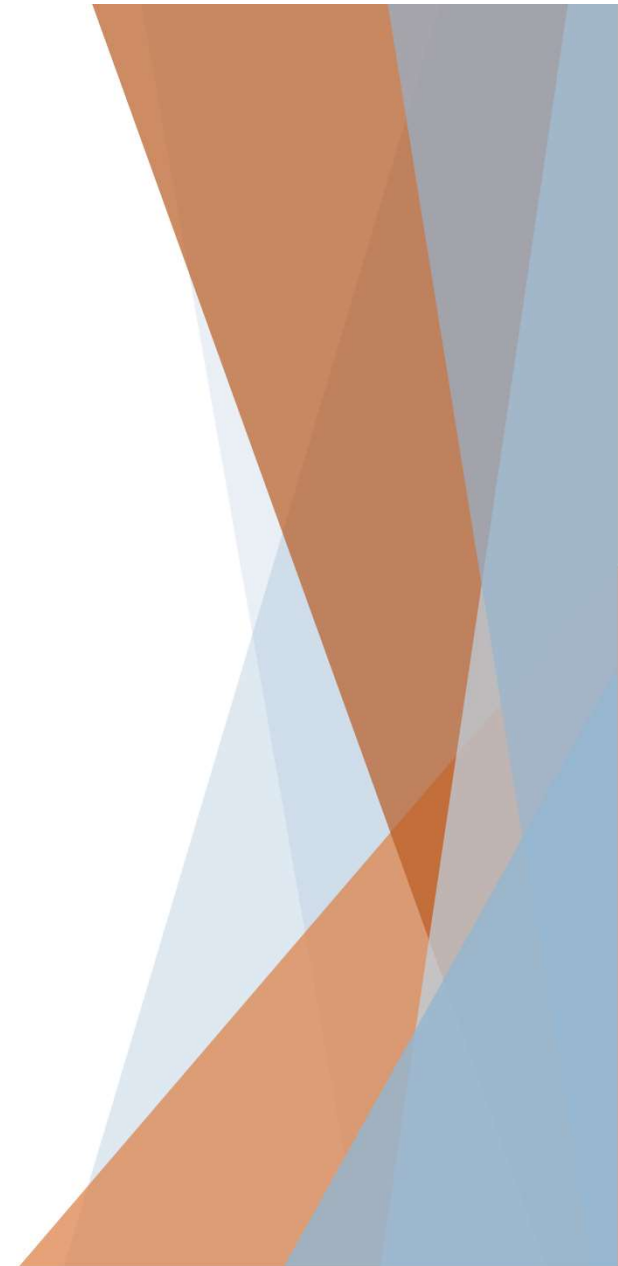
L'œil



b) Modélisation de l'œil



Modèle plan de l'œil



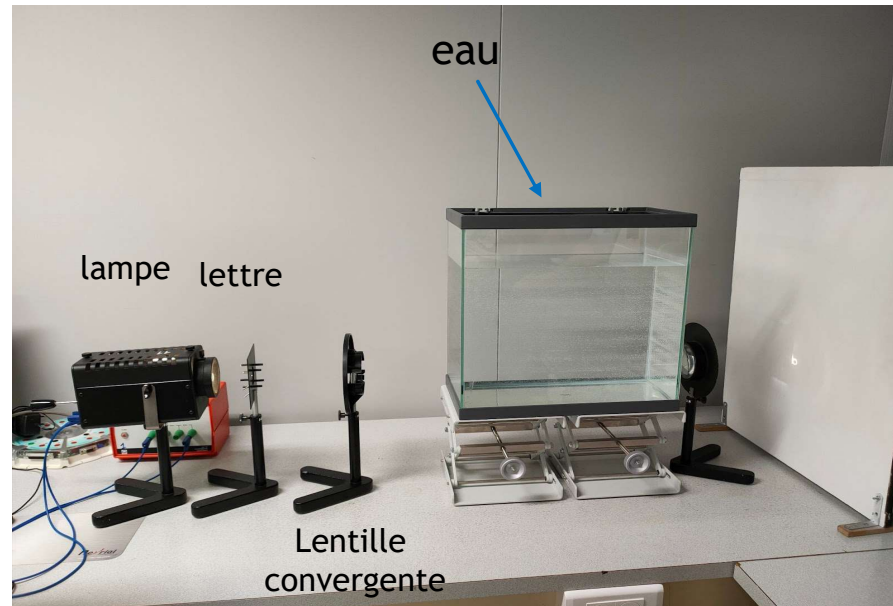
c) Différents défauts de l'œil

Défauts classiques	Défauts de haut degré
<ul style="list-style-type: none">- Myopie- Hypermétropie- Astigmatisme- Presbytie...	<ul style="list-style-type: none">- Inhomogénéités dans les humeurs- Défauts du cristallin (Cornée déformée)

I. Mise en évidence de la déformation d'un front d'onde par les inhomogénéités

a) Expérience

Montage

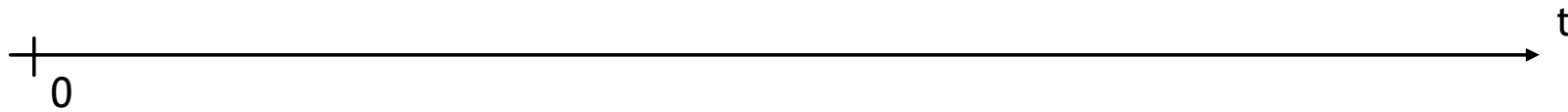
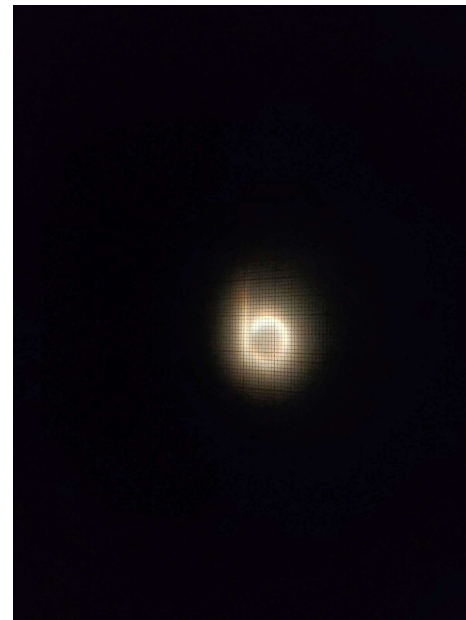
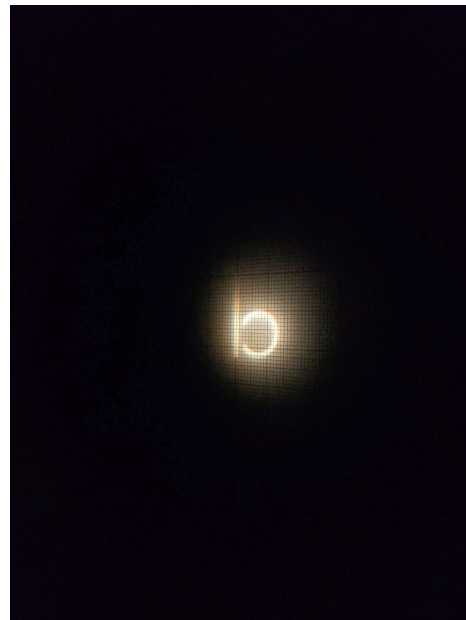
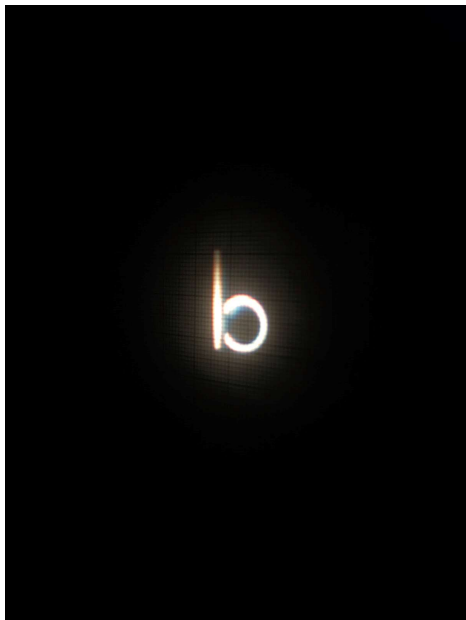


À $t=0$: Ajout d'eau
concentrée en sucre



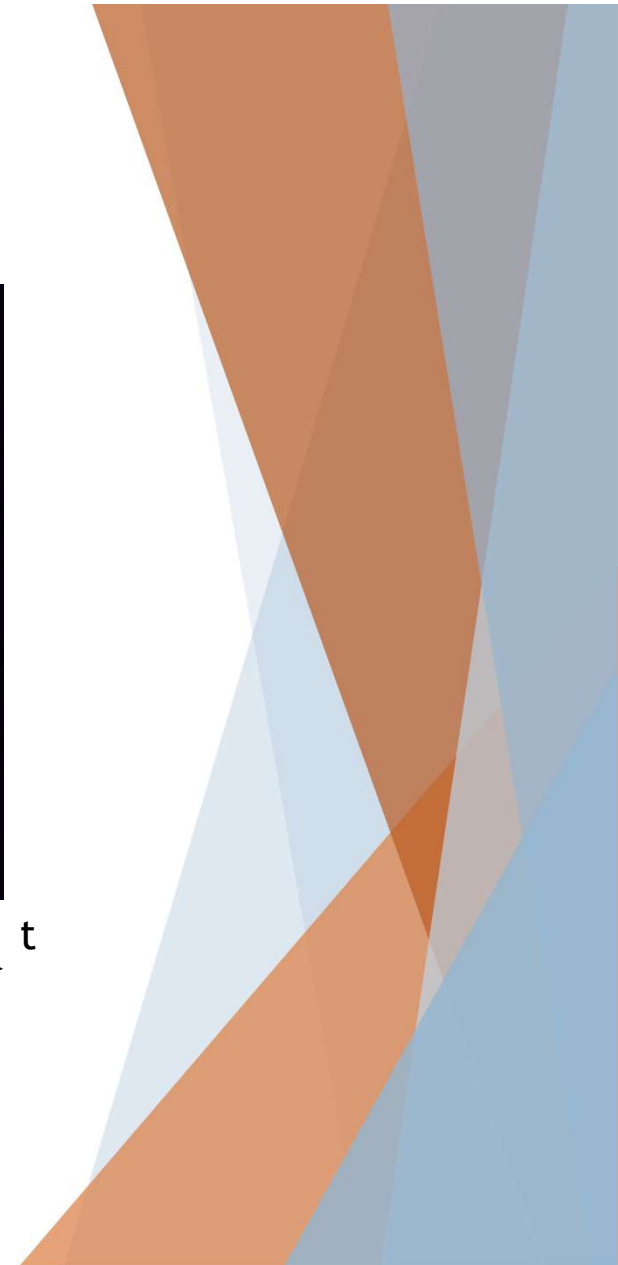
Milieu Hétérogène

Image observée :



Deux phénomènes entrent en jeu ici :

- La réfraction
- La différence de temps de parcours

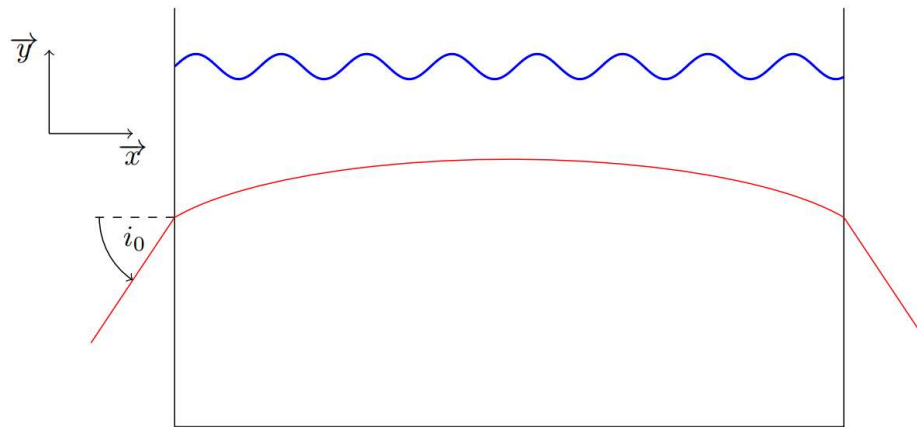


I. Mise en évidence de la déformation d'un front d'onde par les inhomogénéités

a) Expérience

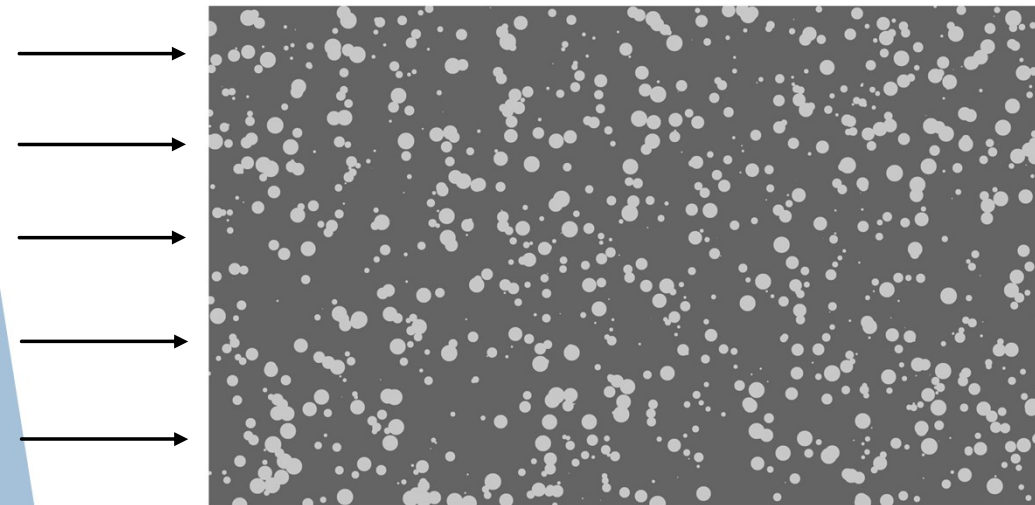
Variation de y due à la réfraction :

$$\frac{\partial y}{\partial x} = \tan(i(x)) = \frac{n_0 \sin(i_0)}{\sqrt{n(x)^2 - n_0^2 \sin^2(i_0)}}$$

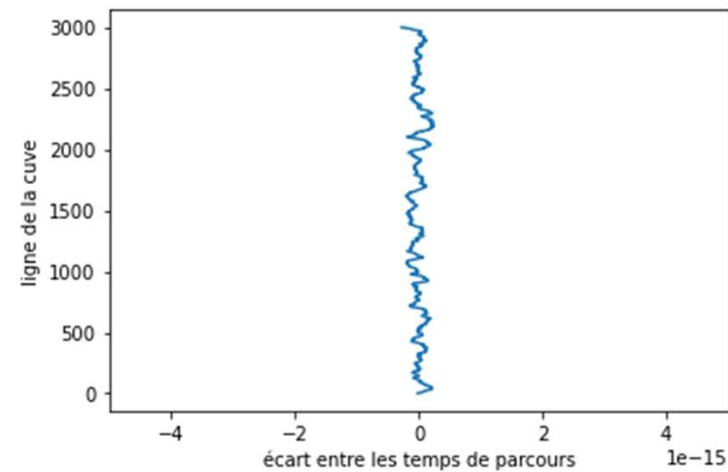


b) Simulation : estimation du temps de parcours

Lumière en phase

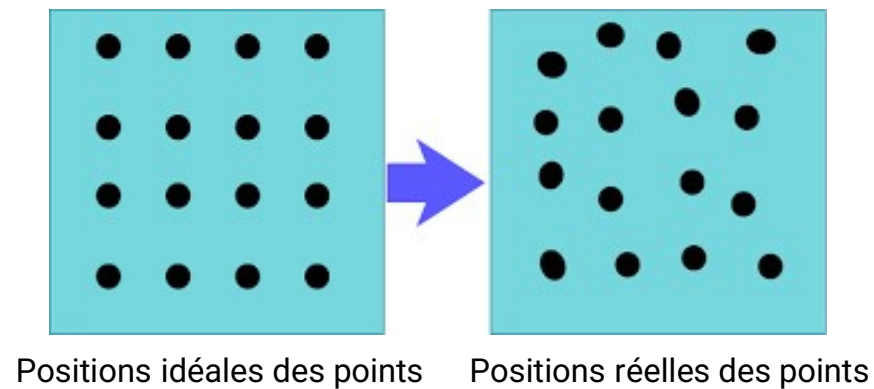
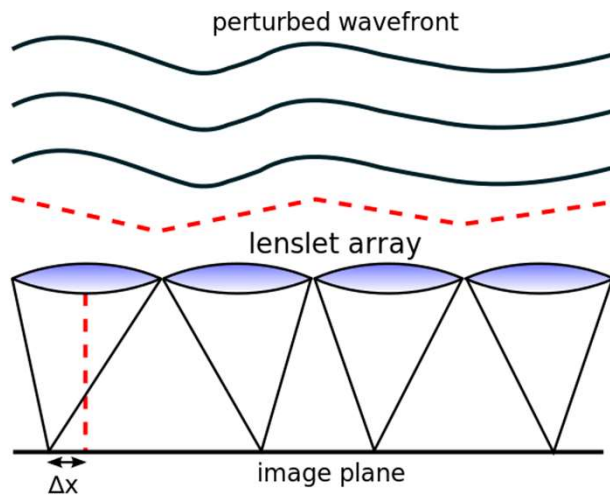


Simulation des inhomogénéités



Front d'onde après traversé de la cuve
(décalage en fonction du temps)
Rectangle rouge pour ce qui nous intéresse

II. Mesure de la déformation d'un front d'onde type Shack-Hartmann

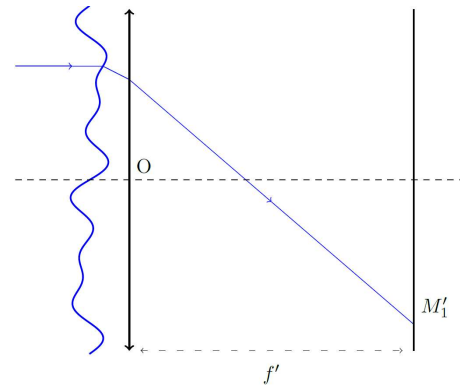
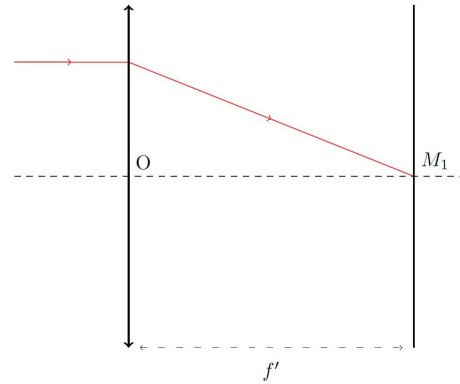


a) Expérience



Observation :

Le Rayon est dévié par le plastique par rapport à une trajectoire idéale

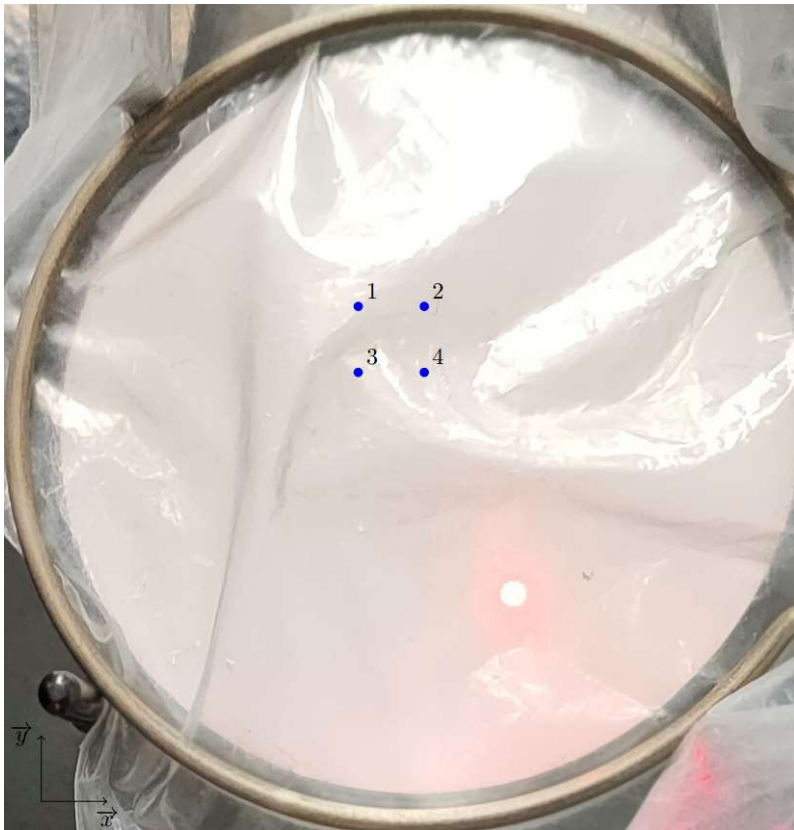


Montage :

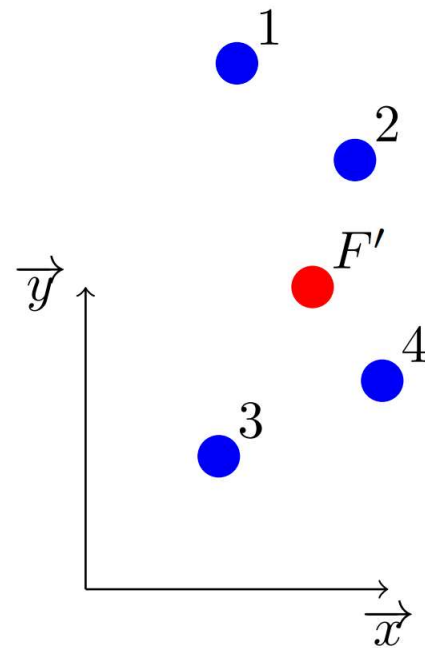
- Laser rouge
- Lentille convergente
- Plastique déformable

b) Résultats de l'expérience

Rayon arrivant sur la lentille

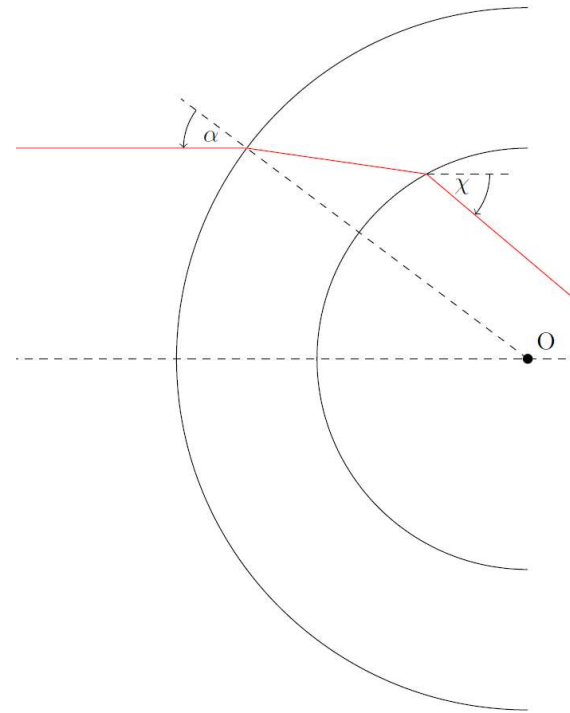
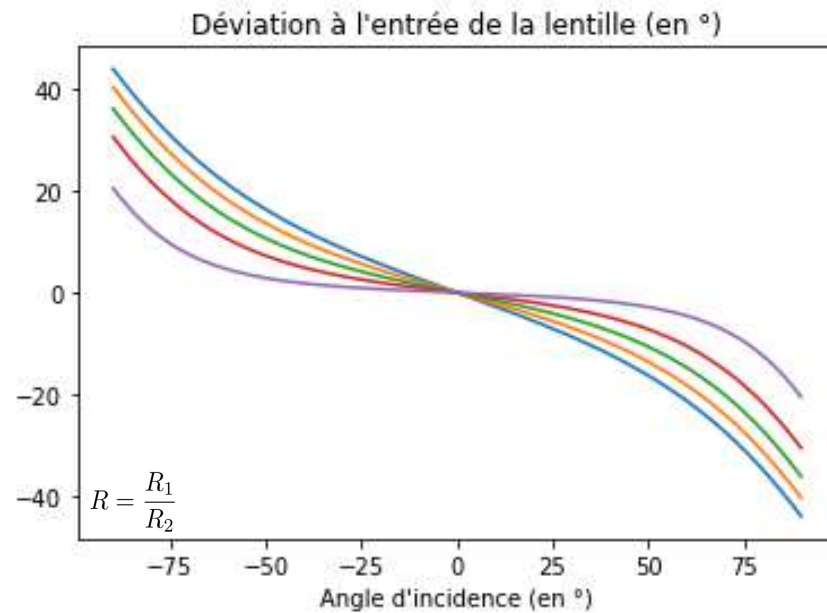


Rayon arrivant dans le plan focal image



Modélisation de la déviation du faisceau

On assimile localement le pochon à deux sphères concentriques de rayon différent

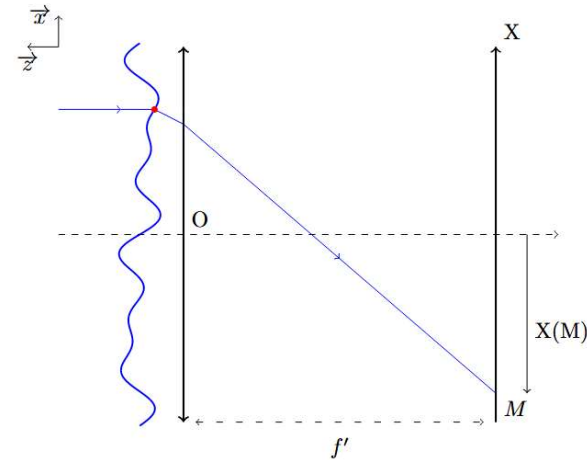
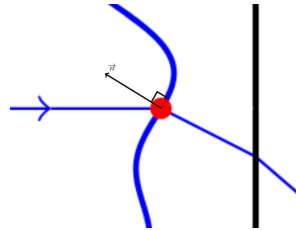
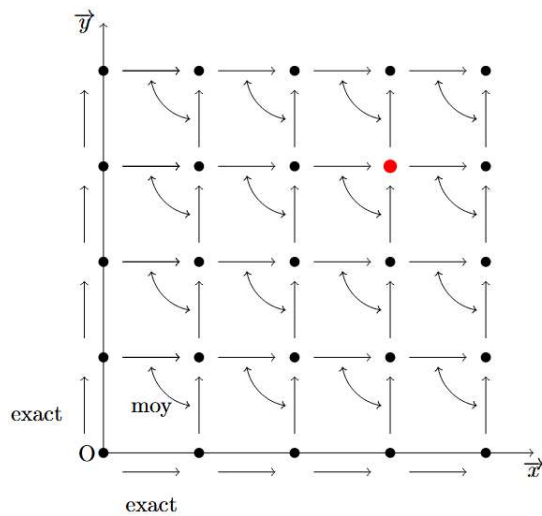


III. Traitement informatique du front d'onde reçu

a) Détermination du front d'onde aux points d'échantillonnage

$$\frac{\partial z}{\partial x} = \frac{-X(M)}{f'} \quad \frac{\partial z}{\partial y} = \frac{-Y(M)}{f'}$$

$$z(i, j) = \frac{1}{2} \left[z(i-1, j) + \frac{\partial z}{\partial x}(i-1, j)\delta x + z(i, j-1) + \frac{\partial z}{\partial y}(i, j-1)\delta y \right] \quad ij \neq 0$$



b) Interpolation de Lagrange

$$Z(X, Y) = \sum_{i=0}^n \sum_{j=0}^m z_{i,j} L_i^x(X) L_j^y(Y)$$

$$L_i^x(X) = \prod_{\substack{k=1 \\ k \neq i}}^n \frac{X - x_k}{x_i - x_k}$$

Interpolateur selon x

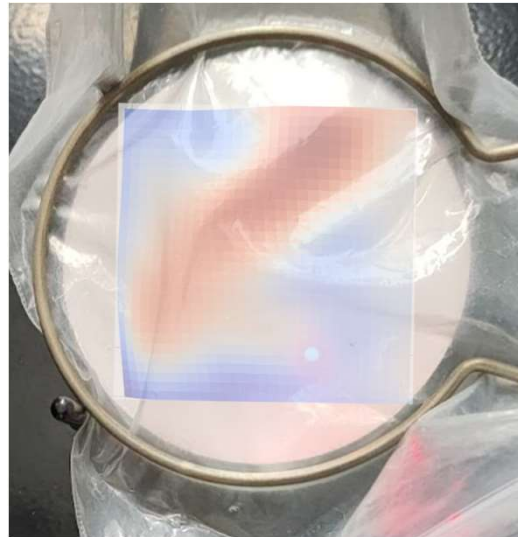
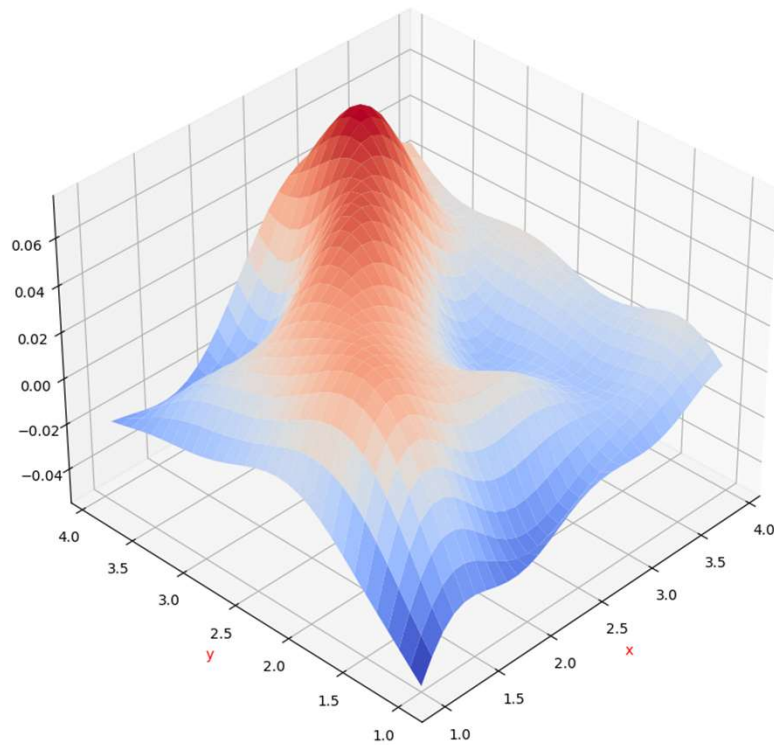
$$L_j^y(Y) = \prod_{\substack{k=1 \\ k \neq j}}^n \frac{Y - y_k}{y_j - y_k}$$

Interpolateur selon y

Par le théorème de Stone-Weierstrass, on peut approcher notre surface par des polynômes.

Reconstitution du front d'onde

Sur chaque point de notre maillage, on a la normale en ce point.
On a donc fait une moyenne pour retrouver les autres points à partir d'un seul.



c) Utilisation des Polynômes de Zernike comme base pour représenter le front d'onde

Base du cercle unité

Polynômes de Zernike d'ordre n

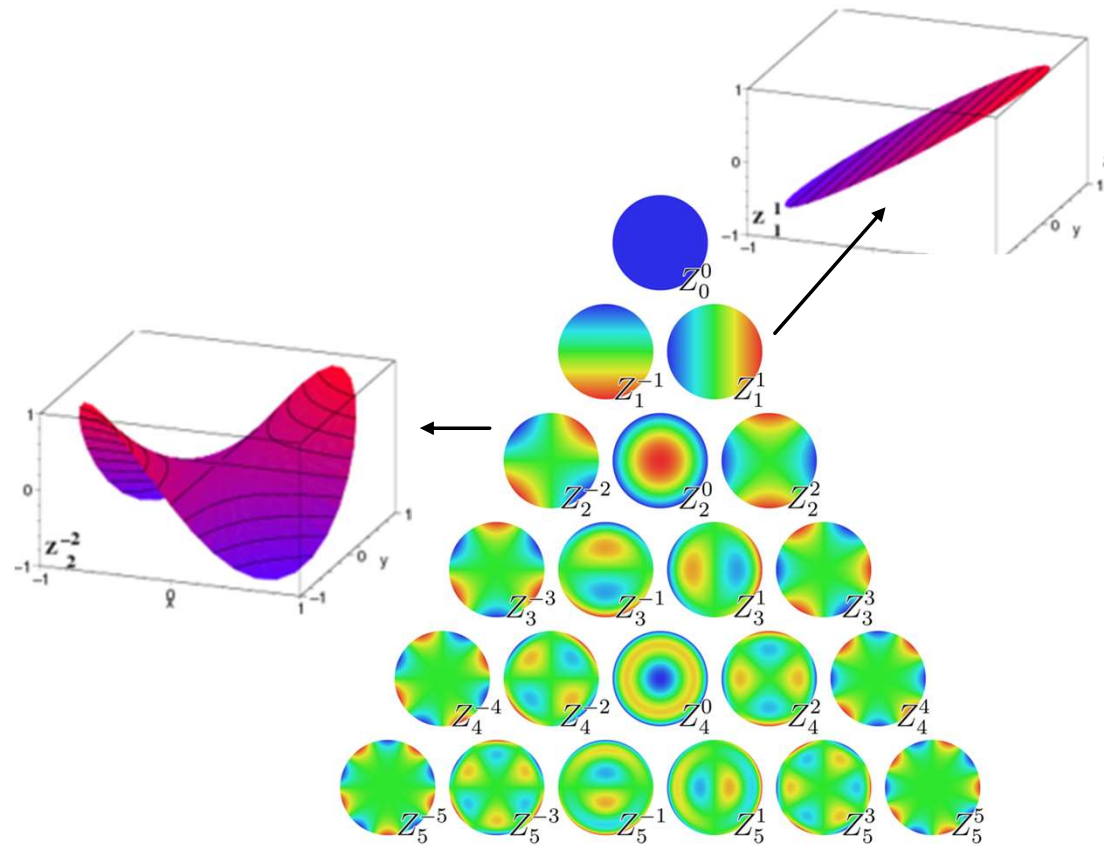
$$Z_n^m(\rho, \theta) = \begin{cases} R_n^m(\rho) \times \cos(m\theta) & m \geq 0 \\ R_n^m(\rho) \times \sin(m\theta) & m < 0 \end{cases}$$

$$R_n^m(\rho) = \sum_{k=0}^{\frac{n-m}{2}} \frac{(-1)^k (n-k)!}{k! \left(\frac{n+m}{2} - k\right)! \left(\frac{n-m}{2} - k\right)!} \rho^{n-2k}$$

m = nombre de méridiens affectés

n = ordre du polynôme

Polynômes de Zernike

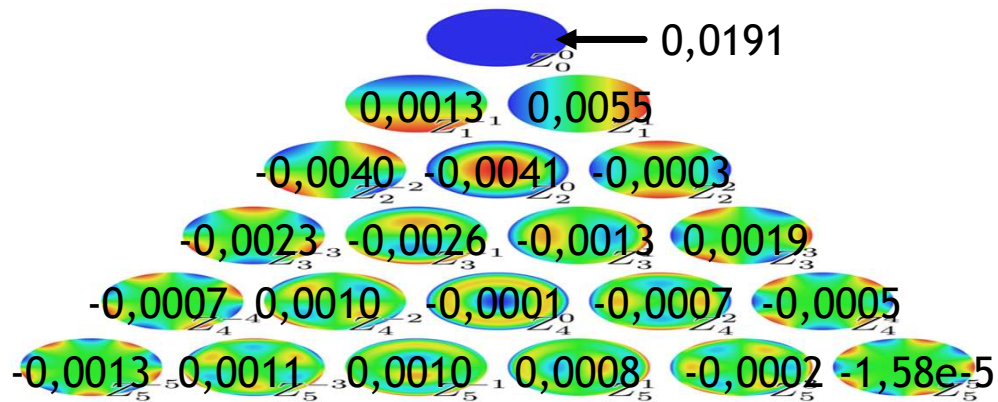


Projection sur la base des Polynômes de Zernike

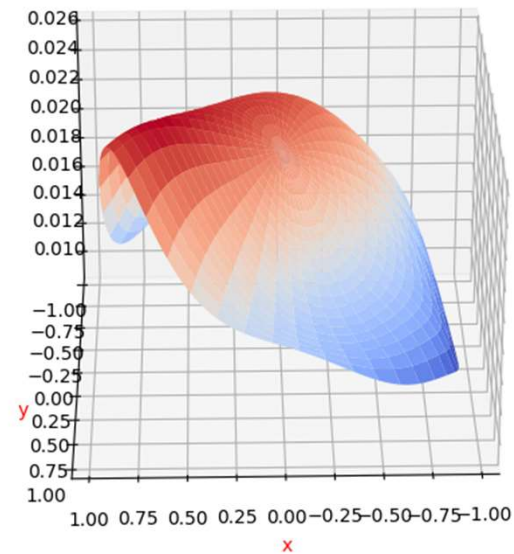
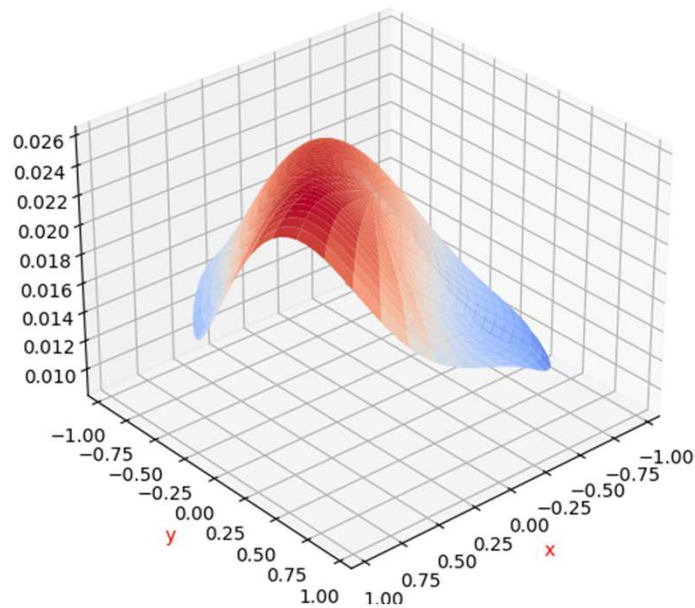
$$\frac{1}{\pi} \iint_D f_1(x, y) f_2(x, y) dx dy$$

Produit scalaire

Résultats



Résultat obtenu après projection



Conclusion

Mesure précise des défauts :

⇒ Elaboration d'une correction OU changement de la position du rayon

